# Caracterização do Mecanismo de ação de Inibidores da Cruzaína Selecionados por *Virtual Screening*

Erika Piccirillo<sup>1</sup> (IC), Alberto Malvezzi<sup>1</sup> (PQ), Leandro de Rezende<sup>1</sup> (TC), Antonia T-do Amaral<sup>1\*</sup> (PQ)

1Depto de Química Fundamental, Instituto de Química, USP, SP, C.P. 06077; 05513-970 São Paulo, Brasil. \*atdamara@iq.usp.br

Palavras Chave: Virtual Screening, Cruzaína, Inibidor de protease, Doença de Chagas

### Introdução

Proteases são enzima que catalisam reações de hidrólise da ligação peptídica. Essas enzimas estão presentes em todos os seres vivos e participam de diversos processos fisiológicos<sup>1</sup>. Devido a sua importância, as proteases são alvos de interesse para o desenvolvimento de compostos bioativos. A cruzaína é uma protease reconhecida como um alvo válido para o desenvolvimento de terapia antichagásica<sup>2</sup>. A doença de Chagas é endêmica no Brasil e a deficiência no tratamento, devido ao limitado interesse na pesquisa, motivam a busca por novos compostos anti-chagásicos. Recentemente, em nosso laboratório, foi desenvolvido e validado um modelo de virtual screening de inibidores da cruzaína. Este modelo foi aplicado à biblioteca de ZINC e foram selecionados compostos compostos, dentre os quais 19 foram adquiridos e testados como inibidores da cruzaína. Um destes, o composto 1, apresentou um  $K_i = 21 \mu M$  quando testado segundo o modelo de inibição de Tight-Binding. Dando continuidade a esse trabalho, buscamos determinar e caracterizar o mecanismo inibicão do composto 1, em especial considerando a inibição em função do tempo e a possibilidade de uma inibição covalente.

## Procedimento Experimental

Seguindo-se protocolo da literatura<sup>4</sup>, em uma solução de tampão fosfato (50 mM), pH 6,50, com EDTA (2,5 mM), DDT (45,4  $\mu$ M) e Triton-X100 (0,01% v/v), seis diferentes concentrações do composto 1 (variando de 10,9  $\mu$ M a 139,5  $\mu$ M) foram, respectivamente, incubadas com cruzaína (0,99  $\mu$ M). Nos tempos de 0, 15, 30, 45, 60, 75, 90, 105 e 120 minutos, foram retiradas alíquotas desta solução inicial e a atividade enzimática foi medida fluorimetricamente com a adição de substrato Bz-FR-MCA (0,5  $\mu$ M), em um fluorímetro Hitachi modelo F-4500, com agitação magnética e temperatura controlada de 37°C, EX 380 nm e EM 460 nm.

## Resultados e Discussão

Em todas as concentrações do inibidor testadas, a atividade enzimática diminuiu proporcionalmente

com o aumento do tempo de incubação e, em todos os casos foi observada uma inibição de pelo menos 50% da atividade enzimática inicial. Os valores de inibição da atividade enzimática foram registrados como porcentagens de atividade em relação a um controle, sem inibidor, garantindo-se, desta forma, que a perda da atividade da enzima seja proveniente da atividade do inibidor e não de variações nas condições experimentais. A partir dos gráficos do logaritmo da porcentagem de atividade enzimática em função do tempo de incubação foram extraídos os valores de meia-vida de inibição da enzima pelo composto 1. Finalmente, os valores de  $K_i$  (74,9  $\mu$ M) e  $k_{inat}$  (0,016 mim<sup>-1</sup>) foram extraídos do gráfico dos valores de T<sub>1/2</sub> em função do inverso da concentração de inibidor4 (Figura 1).

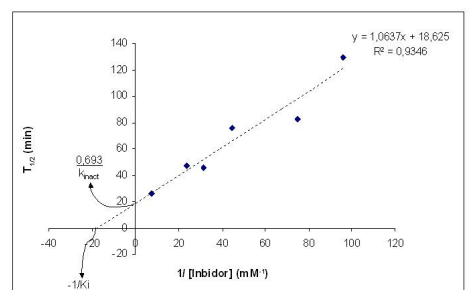


Figura 1. Gráfico dos valores de meia-vida de inibição da cruzaína em função do inverso da concentração do composto 1, de onde são extraídos os valores de K<sub>i</sub> e k<sub>inat</sub>

#### Conclusões

O valor de  $K_i = 74.9~\mu M$  do composto **1** obtido com a inibição em função do tempo está de acordo com o valor observado anteriormente (21  $\mu M$ ). Adicionalmente, foi possível calcular a constante de velocidade da inibição  $k_{inat} = 0.016~mim^{-1}$ .

#### Agradecimentos

Suporte financeiro: FAPESP, CAPES-PNPD, CNPq. A cruzaína foi gentilmente fornecida pelo Prof. Dr. Luiz Juliano (UNIFESP-SP). Agradecemos ao Prof. Dr. Rodrigo Cunha (UFABC) pela ajuda com os ensaios enzimáticos.

<sup>&</sup>lt;sup>1</sup> Powers, J.C., Asgian, J.L., Ekici, O.D., James, K.E., *Chemical Reviews*, 102, 4639 - 4750, 2002

<sup>&</sup>lt;sup>2</sup> Cazzulo, J.J., Stoka, V., Turk, V., Current Phamaceutical Design, 7, 1143-1156, 2001.

<sup>&</sup>lt;sup>3</sup>Malvezzi, A., Tese de Doutorado, IQ-USP, 2008.

<sup>&</sup>lt;sup>4</sup>Silverman, R.B., *Methods of Enzymology*, 240 - 283, 1995.